

УДК 532.5

## АНАЛИТИЧЕСКАЯ МОДЕЛЬ АВТОКОЛЕБАНИЙ ПЛОСКОГО ПРЕДОХРАНИТЕЛЬНОГО КЛАПАНА

© 2010 В.Я. Свербилов<sup>1</sup>, Г.М. Макарьянц<sup>1</sup>, М.В. Макарьянц<sup>2</sup>, Д.М. Стадник<sup>1</sup>

<sup>1</sup> Самарский государственный аэрокосмический университет

<sup>2</sup> Федеральное государственное унитарное предприятие “Государственный научно-производственный ракетно-космический центр “ЦСКБ-Прогресс”, г. Самара

Поступила в редакцию 15.12.2009

В статье представлена аналитическая модель динамики плоского предохранительного клапана. При разработке модели учитывалось влияние скорости перемещения тарели на газодинамические параметры истекающего потока. Модель позволяет определять наличие автоколебаний в клапане на этапе его проектирования.

Ключевые слова: плоский клапан, аналитическое моделирование, подъемная сила.

Определению аэродинамической подъемной силы, действующей на тарель клапана, посвящено много работ, большая часть которых носит прикладной характер и относится к изучению динамики регуляторов давления [1, 2, 3, 4, 5].

Так как законы распределения давления в щели и на поверхности мало изучены, то аэродинамические силы определяют обычно экспериментально [1], используя в расчетах коэффициент  $\varphi$  подъемной силы

$$P_{\text{аэр}} = \varphi(p_1 - p_a)F_1. \quad (1)$$

Величина коэффициента подъемной силы  $\varphi$  зависит от формы тарели клапана, высоты подъема, отношения давлений до и после дросселирующего сечения, диаметра седла и т.д.

В некоторых работах [2, 5] отдельно выделяются статическая и динамическая составляющие подъемной силы в виде:

$$P_{\text{аэр}} = P_{\text{ст}} + P_{\text{дин}}, \quad (2)$$

где  $P_{\text{дин}} = \psi F_1 \frac{\rho W^2}{2}$ .

Коэффициент  $\psi$  зависит от угла выхода потока из дросселирующей щели.

В работе [2] приводятся значения  $\varphi$  для клапанов различной конфигурации при изменении  $h/d_1$  от 0,1 до 0,4 и получена эмпирическая зависимость  $\varphi = \varphi(h/d_1)$ . В работе [1] исследовалось действие потока воздуха на

тарель клапана при малых  $h/d_1 \leq 0,1$ . Установлено, что давление на входе не меняется вдоль радиуса тарели и практически не отличается от давления в ёмкости.

Однако, в процессе свободного движения тарели в потоке обтекающего её газа необходимо учитывать влияние скорости движения тарели на величину подъемной силы. В этом случае коэффициент  $\varphi$  подъемной силы представляет собой нелинейную функцию не только геометрических параметров и параметров режима течения, но и других переменных состояния: высоты подъема и скорости течения.

Рассмотрим свободное движение тарели клапана с учетом зависимости коэффициента подъемной силы от высоты подъема тарели.

Уравнение движения тарели клапана при отсутствии трения запишем в виде:

$$M \frac{d^2 x}{dt^2} = \varphi F_1 (p_1 - p_a) - (P_{\text{нр0}} + Jx). \quad (3)$$

Анализ свободного движения тарели проведем, используя линеаризованное уравнение при помощи формулы Тейлора, раскладывая нелинейную функцию  $\varphi$  по степеням малых приращений:

$$M \delta \ddot{x} + \left[ J - \left( \frac{d\varphi}{dx} \right) F_1 (p_1 - p_a) \right] \delta x = \varphi F_1 \delta p_1 - \varphi_a F_a \delta p_a. \quad (4)$$

Переходя к относительным значениям параметров и коэффициентов, имеющих размерность времени, и принимая  $\delta p_a = 0$ , получим уравнение в операторной форме:

$$\left( T_2^2 s^2 + 1 \right) \tilde{x} = K_2 \tilde{p}_1, \quad (5)$$

где  $T_2^2 = \frac{M}{J - (d\varphi/dx)F_1(p_1 - p_a)}$ ,

Свербилов Виктор Яковлевич, кандидат технических наук, доцент кафедры “Автоматические системы энергетических установок”. E-mail: v.sverbilov@mail.ru.

Макарьянц Георгий Михайлович, кандидат технических наук, доцент кафедры “Автоматические системы энергетических установок”. E-mail: mak-georgy@yandex.ru.

Макарьянц Михаил Викторович, начальник отдела. Стадник Дмитрий Михайлович, студент. E-mail: @mail.ru

$$K_2 = \frac{\varphi F_1}{J - (d\varphi/dx)F_1(p_1 - p_a)} \frac{p_1}{x}.$$

Переходная функция тарели клапана определяется временной характеристикой  $x = x(t)$ , значение которой можно получить, воздействуя на тарель единичным импульсом  $p_1 = I(t)$  при нулевых начальных условиях  $x = \dot{x} = \ddot{x} = 0$ . Решение уравнения (5) зависит от знака и величины постоянной времени  $T_2^2$ .

Случай 1.

$$T_2^2 > 0, \quad x = K_2 [1 - (\cos t / T_2)]. \quad (6)$$

В этом случае тарель будет совершать незатухающие гармонические колебания (рис. 1, кривая 2) с амплитудой  $K_2 x$  и собственной частотой

$$f = \frac{1}{2\pi T_2} = \frac{1}{2\pi} \sqrt{\frac{J}{M} - \frac{d\varphi}{dx} \frac{F_1(p_1 - p_a)}{M}}. \quad (7)$$

Как следует из формулы (7), собственная частота колебаний существенно зависит от скорости и характера нарастания подъемной силы клапана. При  $df/dx > 0$  частота колебаний увеличивается при уменьшении массы подвижных частей и рабочего давления; при  $df/dx < 0$  частота колебаний клапана увеличивается с ростом давления  $p_1$ .

Расчеты собственной частоты колебаний клапанов, имеющих различные формы (типы) тарелей (конус, тарель, шарик и др.), показали, что использование приближенного коэффициента подъемной силы клапана приводит к ошибкам в определении собственной частоты колебаний клапана примерно в 2 раза.

Случай 2.

$$T_2^2 = 0, \quad \tilde{x} = K_2 \tilde{p}_1. \quad (8)$$

В этом случае движение клапана протекало бы идеально (прямая 5). Такой клапан обладал

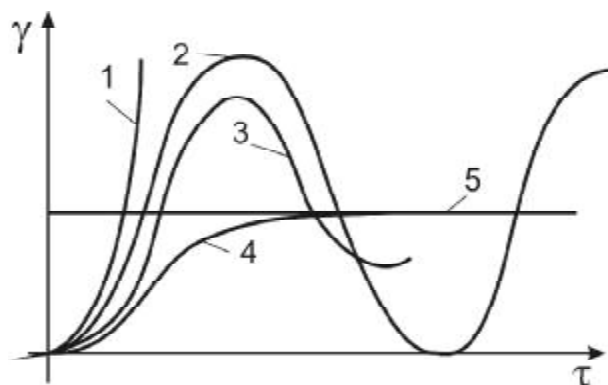


Рис. 1. Переходные функции клапана при свободном движении:

1 — “зависание клапана”, 2 — незатухающие гармонически колебания, 3 — клапан недодемпфирован, 4 — клапан передемпфирован, 5 — идеальная характеристика

бы параметрами  $J \rightarrow \infty; M \rightarrow 0; (d\varphi/dx) \rightarrow \infty$ , что практически не осуществимо.

Случай 3.

$$T_2^2 < 0, \quad \tilde{x} = -K_2 \left[ (ch \tau / T_2') - 1 \right], \quad \text{где } T_2' = iT_2. \quad (9)$$

Клапан находится в неустойчивом равновесии и после нарушения равновесия двигается на расчетную высоту. Быстродействие определяется величиной  $T_2'$ , а зависание клапана — неравенством

$$J - (d\varphi/dx)F_1(p_1 - p_a) < 0. \quad (10)$$

Это условие должно выполняться при любом значении  $x$  (рис. 1, кривая 1).

При составлении математической модели рассматриваемого взаимодействия примем следующие допущения:

- тарель, плоская пластина, обладает только одной степенью свободы — в направлении оси набегающего потока;
- жидкость — идеальный газ;
- входной импеданс отводящей присоединенной системы равен нулю ( $p_a = const$ ).

В общем случае тарель имеет собственную динамическую жесткость, которая может быть представлена механическим импедансом

$$Z_M(S) = \frac{\delta \tilde{P}_\Sigma}{\delta \tilde{x}}, \quad (11)$$

где  $\delta \tilde{P}_\Sigma$  — изображение по Лапласу равнодействующей внешних сил, действующих на тарель в направлении оси  $x$ .

Акустические характеристики подводющей магистрали со стороны набегающего потока определяется её входным импедансом в сечении 1-1 (рис. 2):

$$Z_1(s) = \frac{\delta P_1}{\delta G_1}. \quad (12)$$

Сечение 1-1 расположено достаточно близко от пластины, чтобы можно было пренебречь гидравлическими потерями и инерционностью потока на этом участке. Площадь сечения 1-1 достаточно велика в сравнении с максимальной площадью дросселирующего сечения

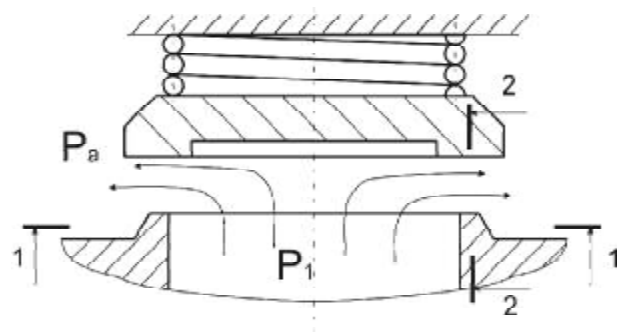


Рис. 2. Расчётная схема истечения потока через клапан

2 – 2, то есть число Маха  $M_1 \ll 1$  даже при установлении критического режима течения в сечении 2 – 2.

Для определения связи между переменными уравнений (11) и (12) используем уравнение неразрывности и изменения количества движения.

Уравнение неразрывности потока между сечениями 1 – 1 и 2 – 2 с учетом движения тарели имеет вид:

$$G_1 = G_2 + F_1 \rho_1 \frac{dx}{dt}. \quad (13)$$

Отсюда скорость потока в сечении 1 – 1:

$$V_1 = \frac{G_1}{F_1 \rho_1} = \frac{G_2}{F_1 \rho_1} + \frac{dx}{dt}. \quad (14)$$

Полагая, что скорость потока в сечении 2 – 2 направлена перпендикулярно оси  $x$ , запишем уравнение количества движения среды, ограниченной стенкой подводящего канала, сечениями 1 – 1 и 2 – 2 и плоскостью тарели:

$$P_\Sigma = F_1(p_1 - p_a) + G_1(V_1 - \frac{dx}{dt}). \quad (15)$$

Подставляя в последнее выражение уравнение (13) и (14), получим силу воздействия среды на тарель в виде:

$$P_\Sigma = F_1(p_1 - p_a) + G_2(\frac{G_2}{F_1 \rho_1} + \frac{dx}{dt}). \quad (16)$$

Расход газа через дросселирующее сечение 2 – 2 выражается формулами Сен – Вена – Ванцеля:

$$G_2 = \mu_2 f_2 p_1 \sqrt{\frac{2}{RT_0} \frac{k}{k-1} \left[ \left( \frac{p_a}{p_1} \right)^{\frac{2}{k}} - \left( \frac{p_a}{p_1} \right)^{\frac{k+1}{k}} \right]}, \quad (17)$$

при  $\frac{p_a}{p_1} > \beta_{кр}$ ,

$$G_2 = \mu_2 f_2 p_1 \sqrt{\frac{k}{RT_0} \left( \frac{2}{k+1} \right)^{\frac{k+1}{2(k-1)}}},$$

при  $\frac{p_a}{p_1} \leq \beta_{кр}$ .

$$G_2 = \mu_2 f_2 \sqrt{2 \rho_a (p_1 - p_a)}. \quad (19)$$

Критическое отношение давлений  $\beta_{кр}$ , при котором достигается наибольший весо-

вой расход, определяется конфигурацией проточной части.

В соответствии с рекомендациями в работе [1] можно принять  $\beta_{кр} = 0,945(\beta_{кр})_c$  при  $x/d < 0,25$  или  $\beta_{кр} = 0,57(\beta_{кр})_c$  для

$$x/d \geq 0,25, \text{ где } (\beta_{кр})_c = \left( \frac{2}{k+1} \right)^{\frac{k}{k-1}} - \text{кри-}$$

тическое отношение давлений, соответствующее соплу Лавала.

Подставляя выражение для расхода  $G_2$  в уравнение (16), получим замкнутую систему уравнений (11), (12) и (16), описывающую свободное движение тарели в потоке рабочей среды при заданных динамической жесткости тарели  $Z_M(s)$  и акустической характеристики потока  $Z_I(s)$  в сечении 1 – 1.

Рассмотрим простейший вариант данной системы в сосредоточенных параметрах: тарель массой  $M$  подвешена на упругой связи, обладающей жесткостью  $J$  и линейным демпфированием  $D$ . На входе расположена пневматическая ёмкость  $V$ . Расход газа устанавливается дросселем на входе в ёмкость  $F_0$  со сверхкритическим перепадом давления.

Полагая, что состояние газа в ёмкости изменяется по политропическому закону, можем записать:

$$C \frac{dp_1}{dt} = G_0 - G_1, \quad (20)$$

где  $C = \frac{V}{nRT_0}$  – пневматическая ёмкость.

Уравнение равновесия пластины, как динамического звена с сосредоточенными параметрами  $M, J, D$  представим в виде:

$$M \frac{d^2 x}{dt^2} + D \frac{dx}{dt} + Jx + P_0 - P_\Sigma = 0. \quad (21)$$

При сверхкритическом перепаде давления  $p_a/p_1 < \beta_{кр}$ , полагая  $G_2 = A x p_1$ , из соотношений (16) и (20) получим:

$$P_\Sigma = (p_1 - p_a)F_1 - A x p_1 \left( \frac{A}{F_1} x + \frac{dx}{dt} \right), \quad (22)$$

$$C \frac{dp_1}{dt} = G_0 - A x p_1 - F_1 \rho_1 \frac{dx}{dt}. \quad (23)$$

Полученная система уравнений (21), (22) и (23) описывает свободное движение системы тарель–ёмкость с учетом изменения количества

движения. Её исследование с использованием Matlab/Simulink проведено ниже.

Исследование динамических процессов проводилось с использованием программного комплекса Matlab/Simulink. В качестве математической модели рассмотрены два варианта:

- 1) математическая модель с известным распределением давления по поверхности пластины (с известным коэффициентом подъемной силы, определенным экспериментально);
- 2) модель с неизвестной подъемной силой, построенная с учетом изменения количества движения.

В тех случаях, когда отсутствуют достаточные экспериментальные данные о величине подъемной силы, целесообразно использовать модель (рис. 3). Математическая модель подвижного блока учитывает возможность соударений клапана и седла и приведена на рис. 4.

С помощью модели исследовалось влияние демпфирования подвижного блока и гидравлического сопротивления на входном участке.

Исходные данные для расчета приведены в табл. 1.

На рис. 5 показаны графики изменения высоты подъема тарелки над седлом (рис. 5а) и давления в ёмкости (рис. 5б) по времени при постоянном расходе газа. Как следует из рис. 5а,

при малом гидравлическом сопротивлении ( $R \leq 10^4 \text{ Па} \cdot \text{с}/\text{кг}$ ) при открытии клапана устанавливаются незатухающие колебания с амплитудой, равной величине  $x_0$ . Эти колебания сопровождаются колебаниями давления  $P_1$  в ёмкости.

При увеличении гидравлического сопротивления на входе в клапан амплитуда колебаний уменьшается. При  $R = 2 \cdot 10^4 \text{ Па} \cdot \text{с}/\text{кг}$  колебания становятся незатухающими.

На рис. 6 показано влияние коэффициента демпфирования подвижного блока на динамические свойства системы. При отсутствии демпфирования ( $\zeta = 0$ ) в системе устанавливаются незатухающие автоколебания. С ростом  $\zeta$  колебания затухают, и процесс стабилизируется.

### СПИСОК ЛИТЕРАТУРЫ

1. Бугаенко В.Ф. Пневмоавтоматика ракетно-космических систем. М.: Машиностроение, 1979. 168 с.
2. Кондратьева Т.Ф. Предохранительные клапаны. Л.: Машиностроение, 1976. 232 с.
3. Дмитриев В.Н., Градецкий В.Г. Основы пневмоавтоматики. М.: Машиностроение, 1973. 360 с.
4. Цай Д.Г., Касиди Е.Ц. Динамические характеристики воздушного редуктора давления // Труды Американского общества инженеров механиков. (пер. с англ.). Серия Д. 1961. № 2. С. 57-80.

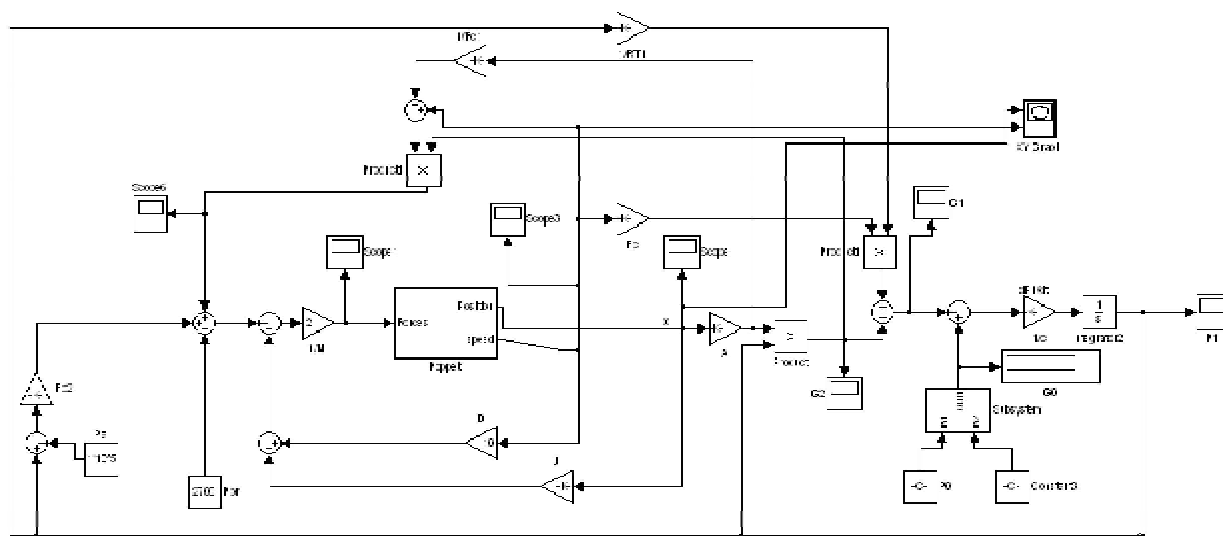


Рис. 3. Модель движения тарелки с учетом изменения количества движения потока рабочей среды

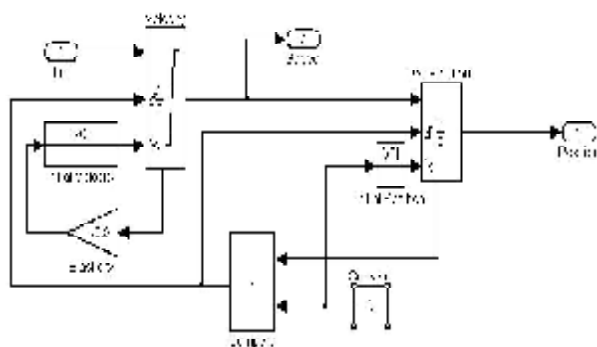
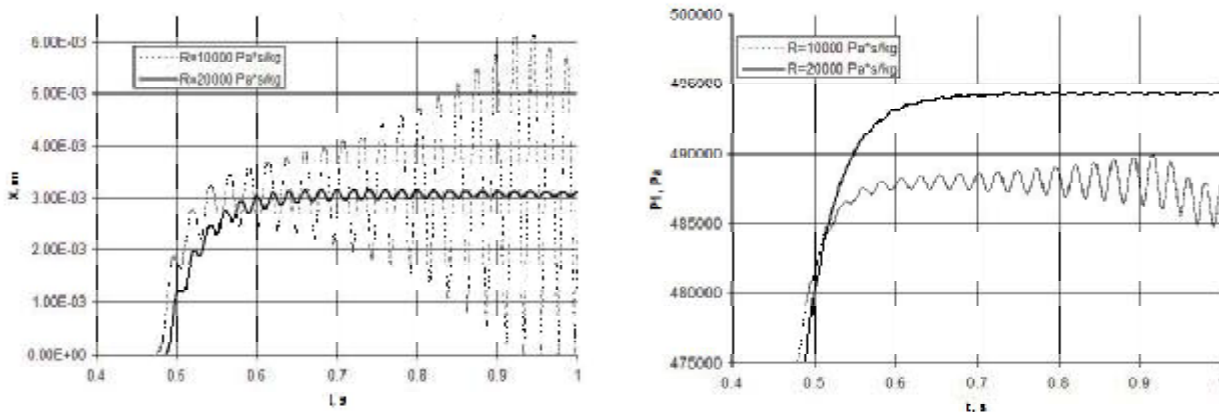


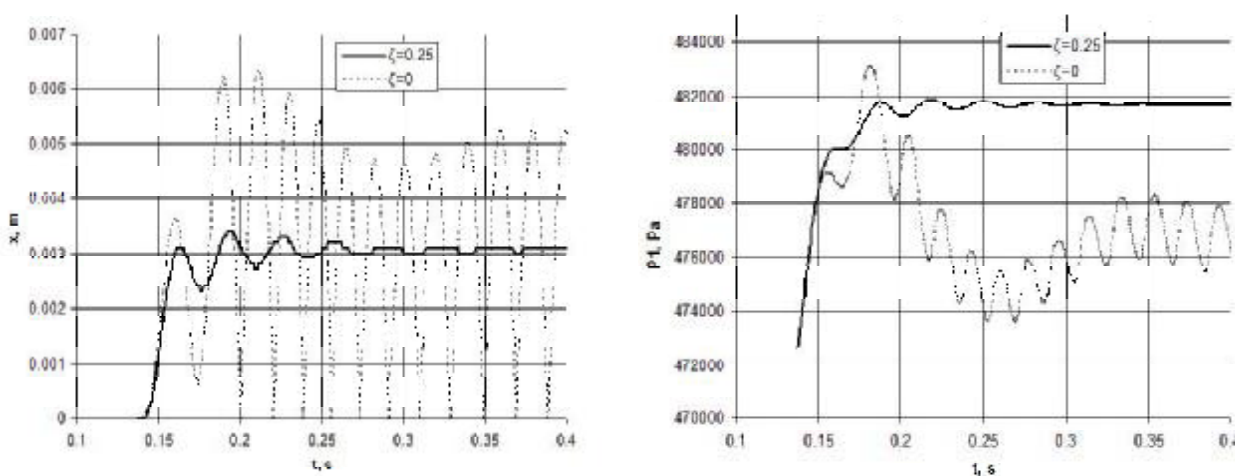
Рис. 4. Модель механического звена системы

Таблица 1. Исходные данные

Масса	$M$	0,5 кг
Жесткость пружины	$y$	$20 \cdot 10^3 \text{ Н/м}$
Площадь седла	$F_1$	$0,007235 \text{ м}^2$
Усилие пружины	$P_{пр0}$	2700 Н
Давление перед расходной шайбой	$P_0$	0,9 МПа
Давление на входе	$P_a$	0,1 МПа
Коэффициент расхода	$\mu$	0,6



**Рис. 5.** Влияние гидравлического сопротивления на входном участке на динамику системы: а – на изменение высоты подъема тарели; б – на изменение давления в ёмкости



**Рис. 6.** Влияние линейного демпфирования подвижного блока на динамику системы: а – на изменение высоты подъема тарели; б – на изменение давления в ёмкости

5. Макарьянц Г.М., Прокофьев А.Б. Математическая модель динамики системы с дозирующим предохранительным клапаном // VIII Міжнародна молодіжна

науково-практична конференція “Людина і Космос”: Збірник тез. Дніпропетровськ, Україна. НЦАОМУ, 2007. С. 19.

## ANALYTIC DYNAMIC MODEL OF POPPET VALVE

© 2010 V.Ya. Sverbilov<sup>1</sup>, G.M. Makariyants<sup>1</sup>, M.V. Makariyants<sup>2</sup>, D.M. Stadnik<sup>1</sup>

<sup>1</sup> Samara State Aerospace University

<sup>2</sup> Federal State Unitary Enterprise TsSKB-Progress, Samara

An analytic dynamic model of poppet valve was presented. An influence of planes velocity on gas dynamic parameters of injection stream was focused during the model creating. A model allowed of calculating self-oscillating in poppet valve through it's design period.

Keywords: poppet valve, analytic modeling, gas force

Viktor Sverbilov, Candidate of Technics, Associate Professor.

E-mail: v.sverbilov@mail.ru

Georgy Makariyants, Candidate of Technics, Associate Professor. E-mail: mak-georgy@yandex.ru.ru.

Mikhail Makariyants, Chief of Division.

Dmitry Stadnik, Student. E-mail: @mail.ru